

# Produção Difrativa de Mésons Vetoriais

**Rodrigo Ribamar Silva do Nascimento**

Universidade do Estado de Santa Catarina

## Introdução

### A Estrutura dos Hádrons

DIS

DIS no modelo de Pártons

As Equações de Evolução – DGLAP

Parametrizações

### Produção Difrativa de Mésons Vetoriais

Mésons

*Hadronic Diffraction*

Seção de Choque  $p/$  o Processo  $\gamma^* p \rightarrow pV$

## Resultados

Introdução

A Estrutura dos Hádrons

DIS

DIS no modelo de Pártons

As Equações de Evolução – DGLAP

Parametrizações

Produção Difractiva de Mésons Vetoriais

Mésons

*Hadronic Diffraction*

Seção de Choque  $p/$  o Processo  $\gamma^* p \rightarrow pV$

Resultados

# Seções

Introdução

A Estrutura dos Hádrons

DIS

DIS no modelo de Pártons

As Equações de Evolução – DGLAP

Parametrizações

Produção Difractiva de Mésons Vetoriais

Mésons

*Hadronic Diffraction*

Seção de Choque  $p/$  o Processo  $\gamma^* p \rightarrow pV$

Resultados

Introdução

A Estrutura dos Hádrons

DIS

DIS no modelo de Pártons

As Equações de Evolução – DGLAP

Parametrizações

Produção Difractiva de Mésons Vetoriais

Mésons

*Hadronic Diffraction*

Seção de Choque  $p/$  o Processo  $\gamma^* p \rightarrow pV$

Resultados

# Introdução

## O Modelo Padrão

# Introdução

## O Modelo Padrão para a Física de Partículas

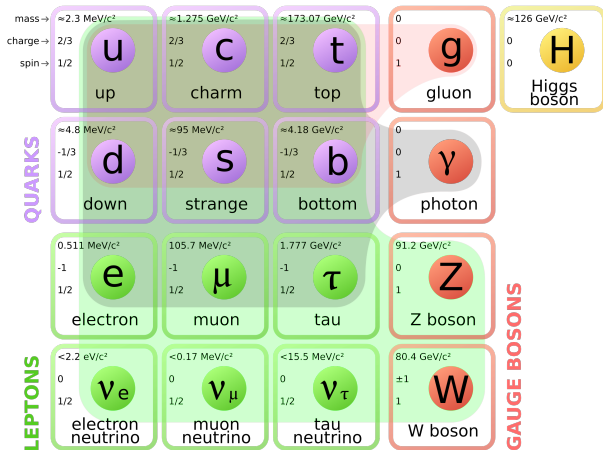


Figura 1: Fonte: (WORKMAN et al., 2022)

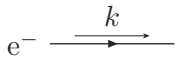
DIS

Deep Inelastic Scattering



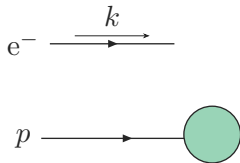
# A Estrutura dos Hádrons

## Deep Inelastic Scattering



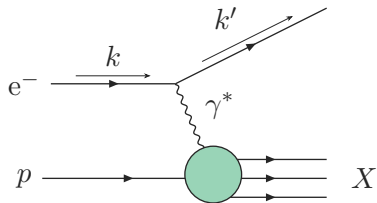
# A Estrutura dos Hádrons

## Deep Inelastic Scattering



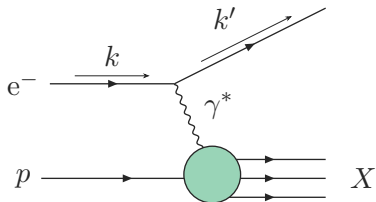
# A Estrutura dos Hádrons

## Deep Inelastic Scattering



# A Estrutura dos Hádrons

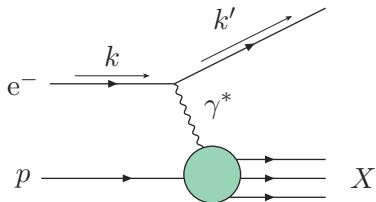
## Deep Inelastic Scattering



$$\left. \frac{d\sigma}{d\Omega dE'} \right|_{ep \rightarrow eX} = \left( \frac{\alpha^2}{4E^2 \sin^4 \theta / 2} \right) \frac{1}{4EE'} L_{(L)}^{\mu\nu} W_{\mu\nu}^{(H)}$$

# A Estrutura dos Hádrons

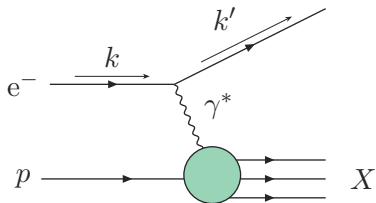
## Deep Inelastic Scattering



$$\left. \frac{d\sigma}{d\Omega dE'} \right|_{ep \rightarrow eX} = \left( \frac{4\alpha^4 E'^2}{q^4} \right) \left[ 2 \sin^2 \frac{\theta}{2} W_1(\nu, Q^2) + \cos^2 \frac{\theta}{2} W_2(\nu, Q^2) \right]$$

# A Estrutura dos Hádrons

## Deep Inelastic Scattering

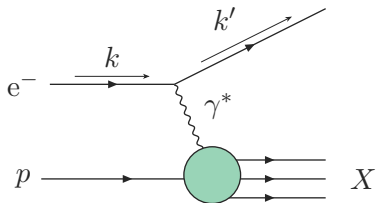


$$\left. \frac{d\sigma}{d\Omega dE'} \right|_{ep \rightarrow eX} = \left( \frac{4\alpha^4 E'^2}{q^4} \right) \left[ 2 \sin^2 \frac{\theta}{2} W_1(\nu, Q^2) + \cos^2 \frac{\theta}{2} W_2(\nu, Q^2) \right]$$

$$\left. \begin{aligned} s &\equiv (p + k)^2 = E_{cm}^2, \\ t &\equiv (k - k')^2 = -Q^2, \\ u &\equiv (k - p_x)^2 \end{aligned} \right\}$$

# A Estrutura dos Hádrons

## Deep Inelastic Scattering



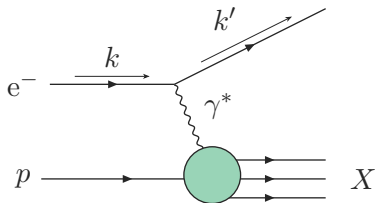
$$\left. \begin{aligned} s &\equiv (p + k)^2 = E_{cm}^2, \\ t &\equiv (k - k')^2 = -Q^2, \\ u &\equiv (k - p_x)^2 \end{aligned} \right\}$$

$$\left. \frac{d\sigma}{d\Omega dE'} \right|_{ep \rightarrow eX} = \left( \frac{4\alpha^4 E'^2}{q^4} \right) \left[ 2 \sin^2 \frac{\theta}{2} W_1(\nu, Q^2) + \cos^2 \frac{\theta}{2} W_2(\nu, Q^2) \right]$$

$$s + t + u = M^2 + W^2$$

# A Estrutura dos Hádrons

## Deep Inelastic Scattering



$$\left. \begin{aligned} s &\equiv (p + k)^2 = E_{cm}^2, \\ t &\equiv (k - k')^2 = -Q^2, \\ u &\equiv (k - p_x)^2 \end{aligned} \right\}$$

$$\frac{d\sigma}{d\Omega dE'} = \frac{1}{s + u} \left( \frac{4\pi\alpha^2}{s^2 t^2} \right) \times \\ \times \left[ -(s + u)t MW_1(\nu, Q^2) + \right. \\ \left. -us\nu W_2(\nu, Q^2) \right]$$

$$s + t + u = M^2 + W^2$$



# A Estrutura dos Hádrons

DIS no Modelo de Partons

Stanford Linear Accelerator - SLAC (1960)

$$\lim_{Q^2, \nu \rightarrow \infty} MW_1(\nu, Q^2) \approx F_1(x)$$

$$\lim_{Q^2, \nu \rightarrow \infty} \nu MW_2(\nu, Q^2) \approx F_2(x)$$

# A Estrutura dos Hádrons

DIS no Modelo de Partons

Stanford Linear Accelerator - SLAC (1960)

$$\lim_{Q^2, \nu \rightarrow \infty} MW_1(\nu, Q^2) \approx F_1(x)$$

$$\lim_{Q^2, \nu \rightarrow \infty} \nu MW_2(\nu, Q^2) \approx F_2(x) \implies x \equiv \frac{Q^2}{2M\nu}$$

# A Estrutura dos Hádrons

DIS no Modelo de Partons

Stanford Linear Accelerator - SLAC (1960)

$$\lim_{Q^2, \nu \rightarrow \infty} MW_1(\nu, Q^2) \approx F_1(x)$$

$$\lim_{Q^2, \nu \rightarrow \infty} \nu MW_2(\nu, Q^2) \approx F_2(x) \implies x \equiv \frac{Q^2}{2M\nu}$$

$$\sigma_L^{\gamma^* p} = \frac{4\pi^2\alpha}{Q^2} \left[ F_2(x, Q^2) - 2xF_1(x, Q^2) \right]$$

$$\sigma_T^{\gamma^* p} = \frac{4\pi^2\alpha}{Q^2} \left[ 2xF_1(x, Q^2) \right]$$

# A Estrutura dos Hádrons

## DIS no Modelo de Partons

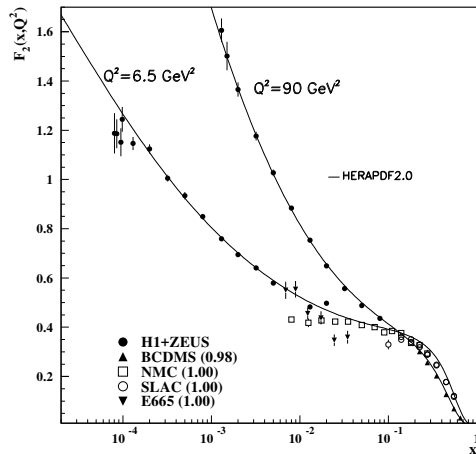
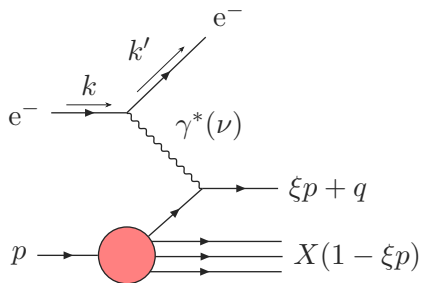


Figura 2: Fonte: (WORKMAN et al., 2022)

# A Estrutura dos Hádrons

DIS no Modelo de Partons

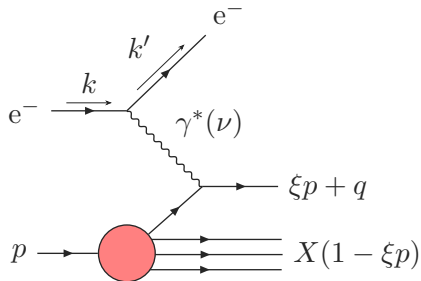


Função Densidade Partônica (PDF):

$$\sum_q \xi_q p = p$$

# A Estrutura dos Hádrons

DIS no Modelo de Partons



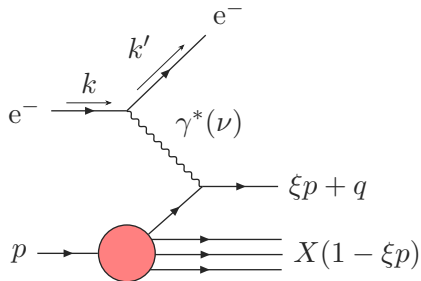
Função Densidade Partônica (PDF):

$$\sum_q \xi_q p = p$$

$$m_q^2 = (\xi p + q)^2 = 0$$

# A Estrutura dos Hádrons

DIS no Modelo de Partons



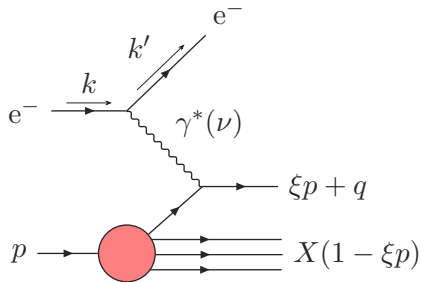
Função Densidade Partônica (PDF):

$$\sum_q \xi_q p = p$$

$$m_q^2 = (\xi p + q)^2 = 0 \implies \boxed{\xi = x}$$

# A Estrutura dos Hádrons

DIS no Modelo de Partons



Função Densidade Partônica (PDF):

$$\sum_q \xi_q p = p$$

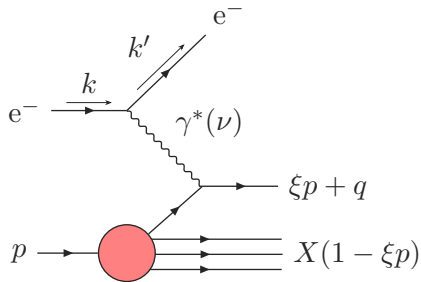
$$m_q^2 = (\xi p + q)^2 = 0 \implies \boxed{\xi = x}$$

$$\sigma^{\gamma^* p} = \sum_q \int_0^1 d\xi f_q(\xi) \hat{\sigma}_{L,T}^{\gamma^* p}$$



# A Estrutura dos Hádrons

DIS no Modelo de Partons



Função Densidade Partônica (PDF):

$$\sum_q \xi_q p = p$$

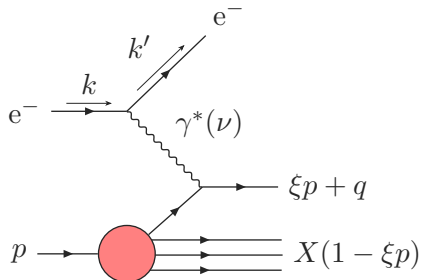
$$m_q^2 = (\xi p + q)^2 = 0 \implies \boxed{\xi = x}$$

$$\sigma_L^{\gamma^* p}(x, Q^2) = 0$$

$$\sigma_T^{\gamma^* p}(x, Q^2) = \frac{4\pi^2\alpha}{Q^2} 2x F_1(x, Q^2)$$

# A Estrutura dos Hádrons

## DIS no Modelo de Partons



Função Densidade Partônica (PDF):

$$\sum_q \xi_q p = p$$

$$m_q^2 = (\xi p + q)^2 = 0 \implies \boxed{\xi = x}$$

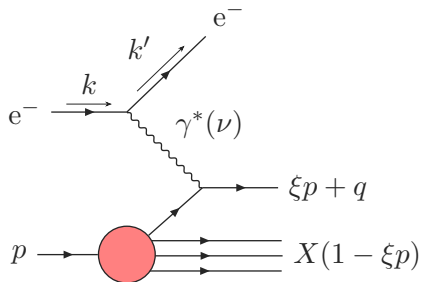
$$\sigma_L^{\gamma^* p}(x, Q^2) = 0 \implies$$

$$F_2(x, Q^2) = 2xF_1(x, Q^2)$$

$$\sigma_T^{\gamma^* p}(x, Q^2) = \frac{4\pi^2\alpha}{Q^2} 2xF_1(x, Q^2)$$

# A Estrutura dos Hádrons

DIS no Modelo de Partons



Função Densidade Partônica (PDF):

$$\sum_q \xi_q p = p$$

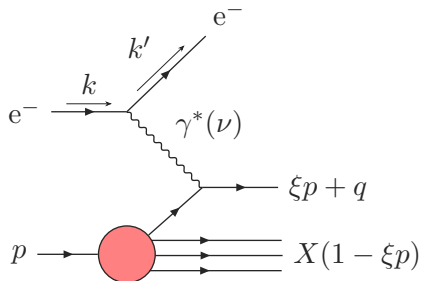
$$m_q^2 = (\xi p + q)^2 = 0 \implies \boxed{\xi = x}$$

$$\sigma^{\gamma^* p} = \frac{4\pi^2\alpha}{Q^2} \sum_q \int_0^1 d\xi f_q(\xi) e_q^2 \delta\left(1 - \frac{x}{\xi}\right)$$

$$\sigma^{\gamma^* p} = \frac{4\pi^2\alpha}{Q^2} \sum_q e_q^2 x f_q(x)$$

# A Estrutura dos Hádrons

DIS no Modelo de Partons



Resultados Experimentais (KONRATH, 2016; MARTINS, 2014)

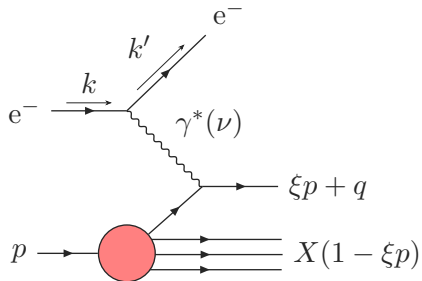
$$f_u = \int_0^1 x u(x) dx = 0.36$$

$$f_d = \int_0^1 x d(x) dx = 0.18$$

$\approx 54\% \rightarrow$  quarks  $u$  e  $d$

# A Estrutura dos Hádrons

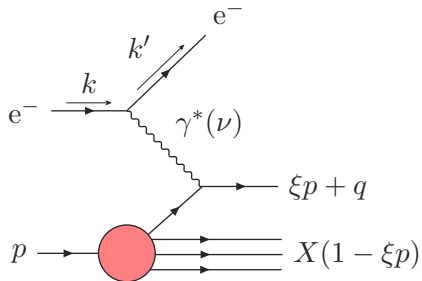
DIS no Modelo de Partons



E AGORA??

# A Estrutura dos Hádrons

DIS no Modelo de Partons



**E AGORA??**

via QCD

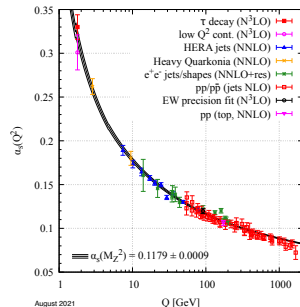
$$F_i(x) \rightarrow F_i(x, Q^2)$$

# A Estrutura dos Hádrons

## QED

### A constante de acoplamento $\alpha_s$

- Determina a intensidade da força de interação forte;
- Depende da distância ou da escala de momento entre as partículas;
- É obtida por meio da equação do grupo de renormalização;



**Figura 2:** Evolução da constante de acoplamento forte em função de  $Q$ . Fonte: (WORKMAN et al., 2022)

# A Estrutura dos Hádrons

## QED

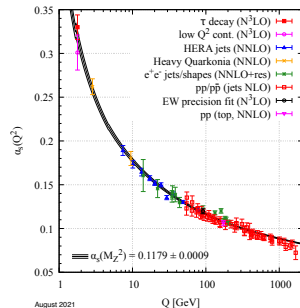
A constante de acoplamento  $\alpha_s$

$$\frac{d\alpha_s(Q^2)}{dt} = \beta(\alpha_s(Q^2))$$

$$t = \log\left(\frac{Q^2}{\mu^2}\right)$$

$$\beta(\alpha_s) = \mu^2 \frac{d\alpha_s}{d\mu^2}$$

A função  $\beta$  expressa a dependência de  $\alpha_s$  na escala de energia de algum processo, e é dada pela expansão perturbativa

$$\beta(\alpha_s) = -\alpha_s^2[b_0 + b_1\alpha_s + \mathcal{O}(\alpha_s^2)]$$


**Figura 2:** Evolução da constante de acoplamento forte em função de  $Q$ . Fonte: (WORKMAN et al., 2022)

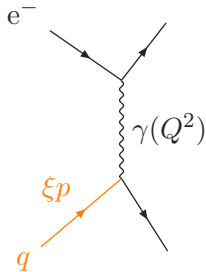


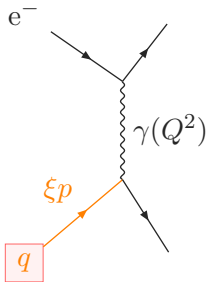
# DGLAP

As Equações de Evolução

# DGLAP

## Remodelando as Funções de Estrutura

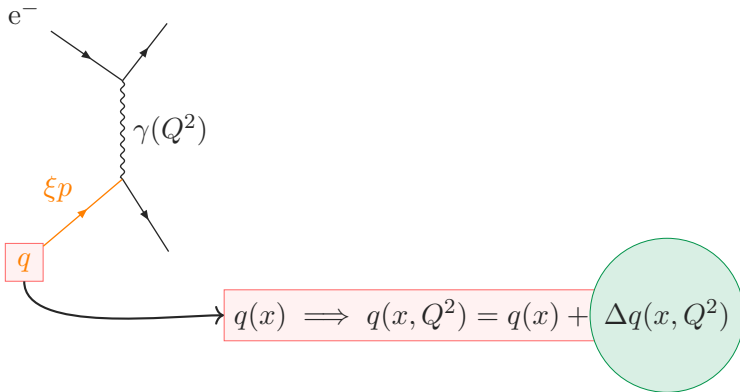




$$q(x) \implies q(x, Q^2) = q(x) + \Delta q(x, Q^2)$$

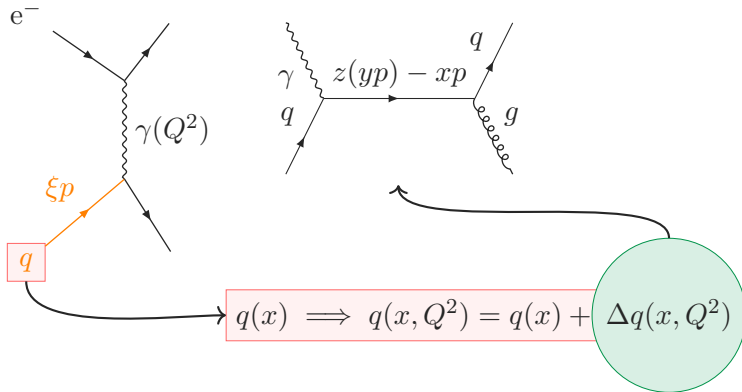
# DGLAP

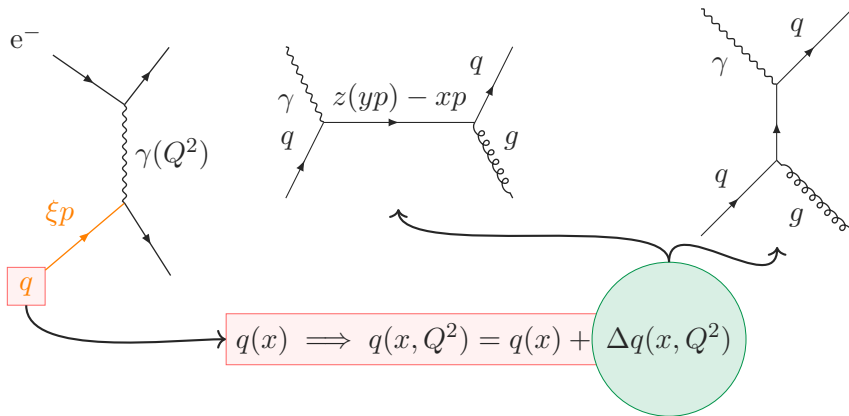
## Remodelando as Funções de Estrutura



# DGLAP

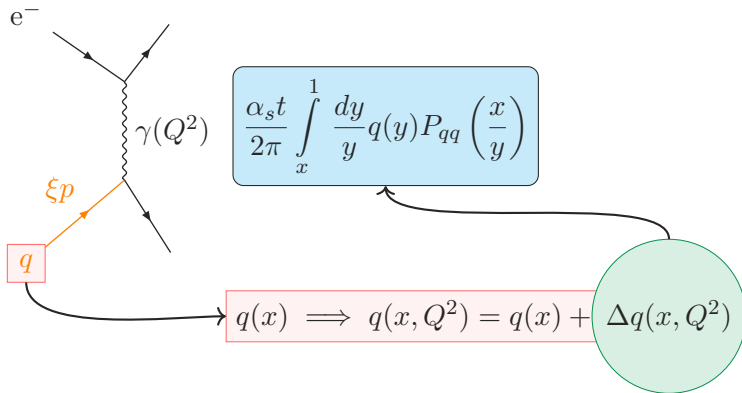
## Remodelando as Funções de Estrutura





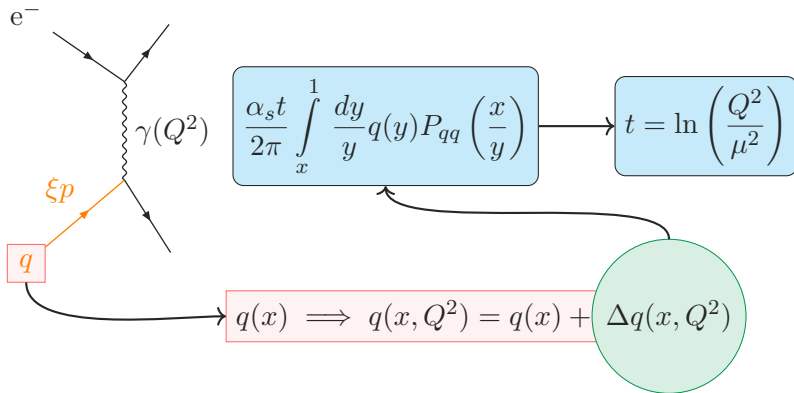
# DGLAP

## Remodelando as Funções de Estrutura



# DGLAP

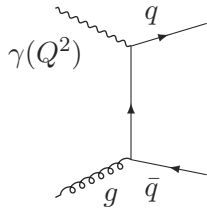
## Remodelando as Funções de Estrutura





# DGLAP

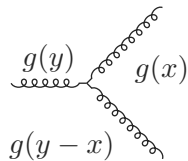
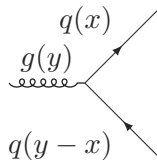
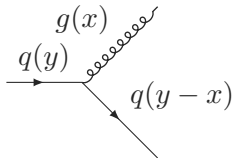
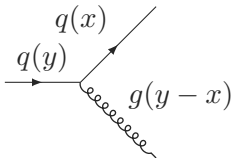
Processo  $\gamma g \rightarrow q \bar{q}$

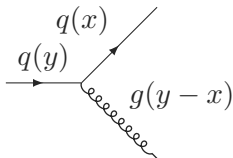


$$\dots g(y) P_{qg} \left( \frac{x}{y} \right)$$

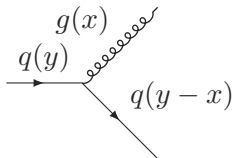
# DGLAP

## Funções de splitting

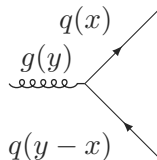




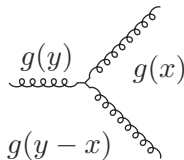
$$P_{qq} \left( \frac{x}{y} \right)$$



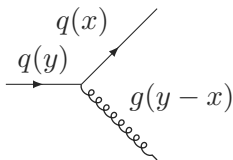
$$P_{gq} \left( \frac{x}{y} \right)$$



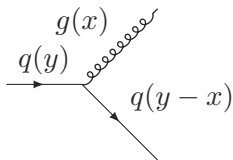
$$P_{qg} \left( \frac{x}{y} \right)$$



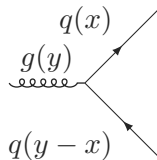
$$P_{gg} \left( \frac{x}{y} \right)$$



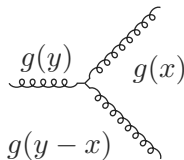
$$P_{qq} \left( \frac{x}{y} \right)$$



$$P_{gq} \left( \frac{x}{y} \right)$$

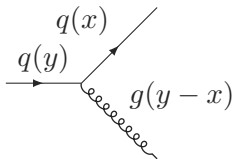


$$P_{qg} \left( \frac{x}{y} \right)$$

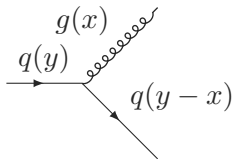


$$P_{gg} \left( \frac{x}{y} \right)$$

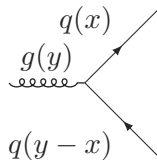
$$\frac{dq(x, t)}{dt} = \frac{\alpha_s}{2\pi} \int_x^1 \left[ q(x, t) P_{qq} \left( \frac{x}{y} \right) + g(x, t) P_{qg} \left( \frac{x}{y} \right) \right] \frac{dy}{y}$$



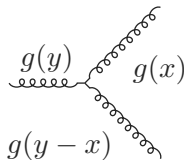
$$P_{qq} \left( \frac{x}{y} \right)$$



$$P_{gq} \left( \frac{x}{y} \right)$$



$$P_{qg} \left( \frac{x}{y} \right)$$



$$P_{gg} \left( \frac{x}{y} \right)$$

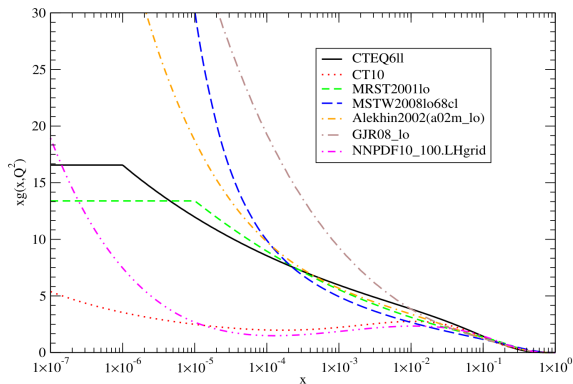
$$\frac{dg(x,t)}{dt} = \frac{\alpha_s}{2\pi} \int_x^1 \left[ \sum_j q_j(x,t) P_{qg} \left( \frac{x}{y} \right) + g(x,t) P_{gg} \left( \frac{x}{y} \right) \right] \frac{dy}{y}$$

# Parametrizações

Distribuições partônicas

# Parametrizações partônicas

## Grupos



**Figura 3:** Distribuições gluônicas em função da fração de momentum para a escala  $Q^2 = 2,4\text{GeV}^2$ .  
Fonte: (MARTINS, 2014)

# Mésons Vetoriais

Produção difrativa



# Mésons Vetoriais

## Propriedades

Méson	Conteúdo de Quarks	Carga	Massa	Tempo de Vida	Principais Decaimentos
$\rho$	$u\bar{d}, (u\bar{u} - d\bar{d})\sqrt{2}, d\bar{u}$	1,0,-1	775,5	$4 \times 10^{-24}$	$\pi\pi$
$K^*$	$u\bar{s}, d\bar{s}, s\bar{d}, s\bar{u}$	1,-1	894	$1 \times 10^{-23}$	$K\pi$
$\omega$	$(u\bar{u} + d\bar{d})\sqrt{2}$	0	782,6	$8 \times 10^{-23}$	$\pi\pi\pi, \pi\gamma$
$\psi$	$c\bar{c}$	0	3097	$7 \times 10^{-21}$	$e^+e^-, \mu^+\mu^-\pi, 5\pi, 7\pi$
$D^*$	$c\bar{d}, c\bar{u}, u\bar{c}, d\bar{c}$	1,0,-1	2008	$3 \times 10^{-21}$	$D\pi, D\gamma$
$\Upsilon$	$b\bar{b}$	0	9460	$1 \times 10^{-20}$	$e^+e^-, \mu^+\mu^-\pi, \tau^+\tau^-$

**Tabela 1:** Algumas propriedades físicas dos mésons vetoriais. Fonte: (MARTINS, 2014)

# Hadronic Diffraction

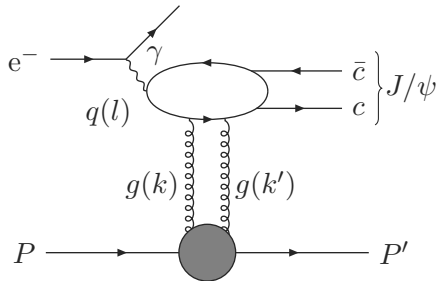
## Definição

[...] Good and Walker who in 1960, wrote: *“...A phenomenal is predicted in which a high energy particle beam undergoing diffraction scattering from a nucleus will acquire components corresponding to various products of the virtual dissociations of the incident particle... These diffraction-produced system would have a characteristic extremely narrow distribution in transverse momentum and would have the same quantum numbers of the initial particle...”*

For the sake of definiteness, we will say that *“every reaction in which no quantum numbers are exchanged between high energy colliding particles is dominated asymptotically by diffraction.”* (PREDAZZI, 1998)

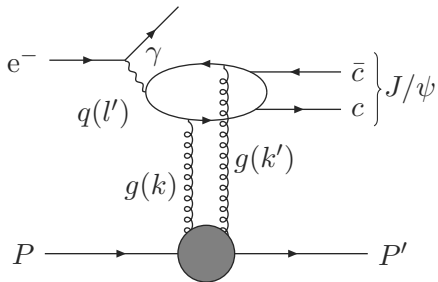
# Mésons Vetoriais

Fotoprodução do Méson  $J/\psi$



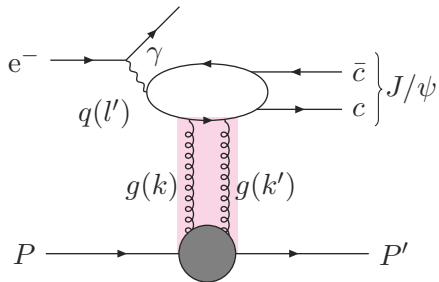
# Mésons Vetoriais

Fotoprodução do Méson  $J/\psi$



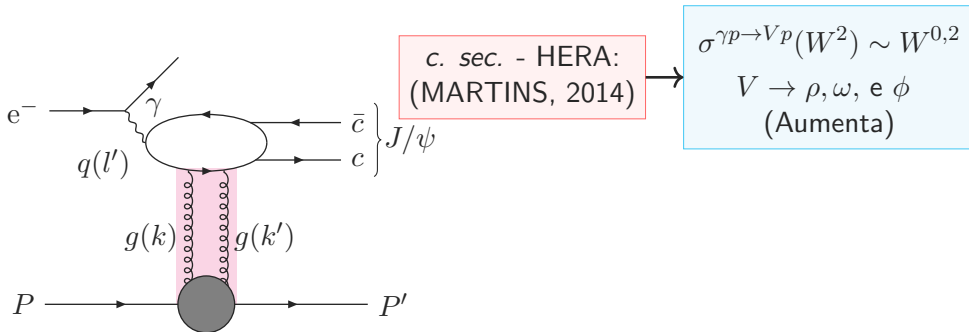
# Mésons Vetoriais

Fotoprodução do Méson  $J/\psi$



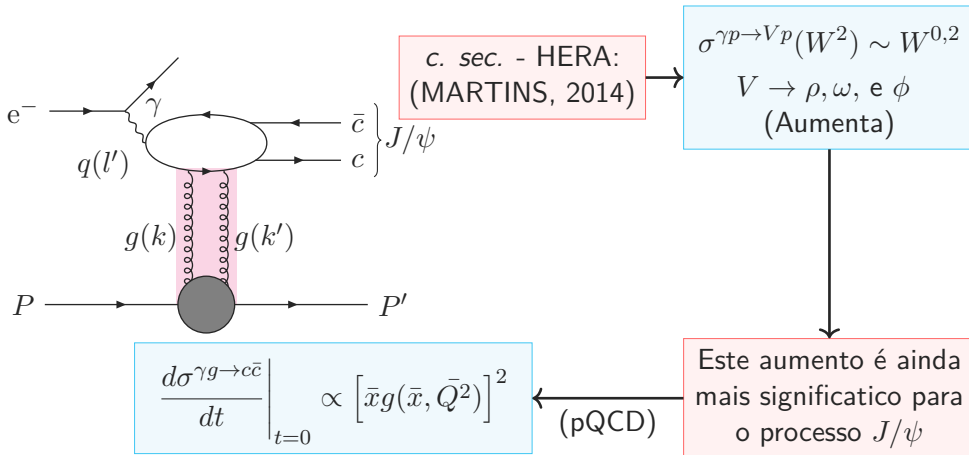
# Mésons Vetoriais

Fotoprodução do Méson  $J/\psi$



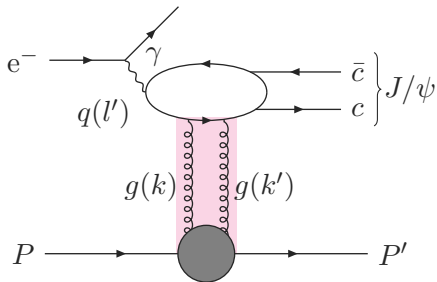
# Mésons Vetoriais

Fotoprodução do Méson  $J/\psi$



# Mésons Vetoriais

Fotoprodução do Méson  $J/\psi$



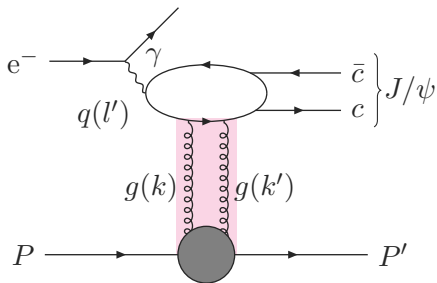
$$\left. \frac{d\sigma_{\gamma g \rightarrow c\bar{c}}}{dt} \right|_{t=0} \propto [\alpha_s x_P g(x_P, \bar{Q}^2)]^2$$

1.  $x_P$  – fração de momentum portata pelo do próton
2.  $g(x_P, \bar{Q}^2)$  – distrib. de glúons a  $\bar{Q}^2$  efetivo
3.  $\alpha_s$  – constante de acoplamento *strong*



# Mésons Vetoriais

Fotoprodução do Méson  $J/\psi$



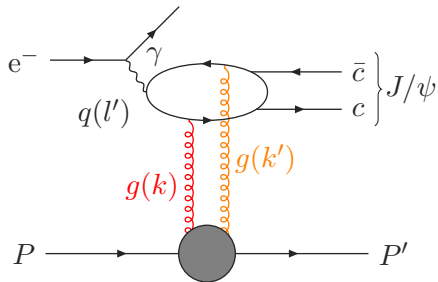
$$\bar{Q}^2 = \frac{Q^2 + M_V^2}{4}$$

$$\left. \frac{d\sigma_{\gamma g \rightarrow c\bar{c}}}{dt} \right|_{t=0} \propto [\alpha_s x_P g(x_P, \bar{Q}^2)]^2$$

1.  $x_P$  – fração de momentum portada pelo do próton
2.  $g(x_P, \bar{Q}^2)$  – distrib. de glúons a  $\bar{Q}^2$  efetivo
3.  $\alpha_s$  – constante de acoplamento *strong*

# Mésons Vetoriais

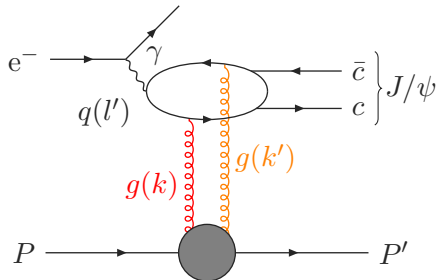
## Amplitude de Espalhamento



$$A_T = -4\pi^2 i \alpha_s W^2 \int \frac{dk^2}{k^4} \left( \frac{1}{l'^2 - m_c^2} + \frac{1}{l'^2 - m_c^2} \right) f(x_P, k^2) e_c g_\psi M_\psi$$

# Mésons Vetoriais

## Amplitude de Espalhamento

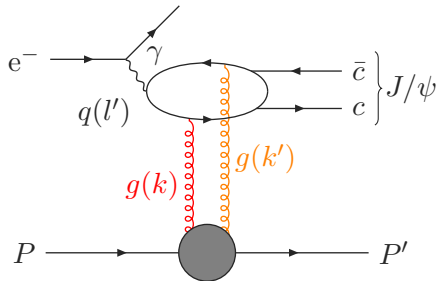


$$A_T = -4\pi^2 i \alpha_s W^2 \int \frac{dk^2}{k^4} \left( \frac{1}{l'^2 - m_c^2} + \frac{1}{l'^2 - m_c^2} \right) f(x_P, k^2) e_c g_\psi M_\psi$$

$$\frac{d\sigma_T^{\gamma^{(*)}p \rightarrow \psi p}}{dt} = \frac{1}{16\pi W^4} |A_T|^2$$

# Mésons Vetoriais

## Amplitude de Espalhamento



$$A_T = -4\pi^2 i \alpha_s W^2 \int \frac{dk^2}{k^4} \left( \frac{1}{l'^2 - m_c^2} + \frac{1}{l'^2 - m_c^2} \right) f(x_P, k^2) e_c g_\psi M_\psi$$

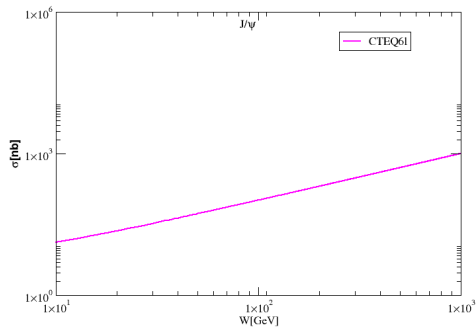
$$\left. \frac{d\sigma_T^{\gamma^{(*)} p \rightarrow \psi p}}{dt} \right|_{t=0} = \frac{16\Gamma_{e^+e^-}^\psi M_\psi^3 \pi^3}{3\alpha_{em} (Q^2 + M_\psi^2)^4} \left[ \alpha_s(\bar{Q}^2) x_P g(x_P, \bar{Q}^2) \right]^2 \left( 1 + \frac{Q^2}{M_\psi^2} \right)$$

# Resultados

## Análise Numérica

# Resultados

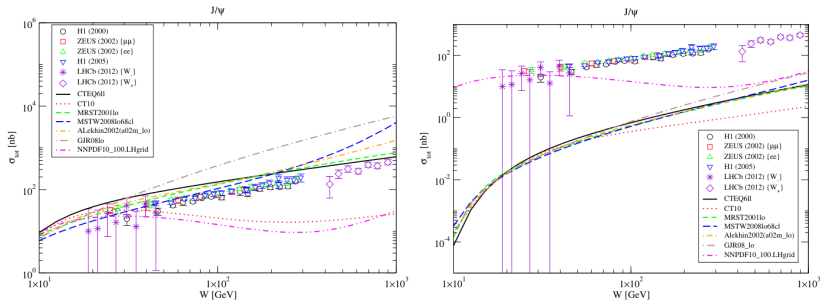
## Análise Numérica







**Figura 4:** Seção de choque total para  $J/\psi$  em função da energia do centro de massa tomando por referência os parâmetros estudados em (MARTINS, 2014).

# Resultados

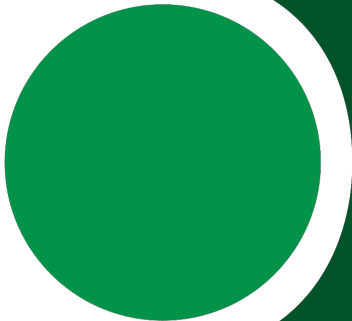
## Análise Numérica



**Figura 4:** Seção de choque total para  $J/\psi$  em função da energia do centro de massa com  $b_V = 4,5 \text{ GeV}^2$  e  $\alpha_s = 0,20$  fixos para  $\mu^2 = 2,4 \text{ GeV}^2$  e  $\mu^2 = 9,0 \text{ GeV}^2$  respectivamente.

-  KONRATH, R. **Colisões Hadrônicas e Interações Múltiplas**. 85 p. Dissertação (Mestrado em Física) — UFSC–PPGF, Universidade Federal de Santa Catarina, 2016.
-  MARTINS, L. A. S. **Determinação da Distribuição de Glúons do Próton na Fotoprodução de Mésons Vetoriais no Grande Colisor de Hádrons**. 71 p. Dissertação (Mestrado em Física) — UFPEL–IFM(PPGF), Universidade Federal de Pelotas, 2014.
-  PREDAZZI, E. Diffraction : past, present and future. 1998.
-  WORKMAN, R. L. et al. Review of particle physics. **PTEP**, v. 2022, p. 083C01, 2022.





Contato:  
Rodrigo Ribamar Silva do Nascimento  
[rodrigo.nascimento@edu.udesc.br](mailto:rodrigo.nascimento@edu.udesc.br)  
[github.com/physikices](https://github.com/physikices)